

## ภาพเจวัณโรคในระบบทางเดินอาหาร\*

## ວິຮັດທີ່ ຂາວປະສົງຫອີ້ນ ພ.ນ.\*\*

ເຈົ້າຍວ ນິຍົມ ພ.ບ. \*\*\*

## กิจกรรม

ວັນໂຮກເປັນໂຮກຕິດຕ່ອງເວຼອຮ້າງໆ ຊົ່ວໂມງການ  
ດຳເນີນຂອງໂຮກເປັນໄປຢ່າງຫຳນາກ ເກີດຈາກ  
ຊື່ Mycobacterium tuberculosis ອີຣ້  
Koch bacilli ຊົ່ວຄົນພບໂດຍ Robert Koch  
ຕະແຕບ ແກ້ໄຂແລ້ວ ເຊື້ອນອາຈເຈີຣຸເຕີບໂຕໃນ  
ຮ່າງກາຍຂອງຄົນໄບທອວຍວະໄດຖືກໄດ້ທັງສັນ ແລະ  
ອາຈໄມ່ທຳໃຫ້ຄົນໄບໜ້າກາຮອະໄຣເລີຍຫວອາຈ  
ທຳໄໝໃຫ້ຄົນໄບໜ້າເກີດອາກາຮອະຮູນແຮງຄົງຕາຍກີໄດ້  
ເໜີອຸນກົນ

การเปลี่ยนแปลงทางพยาธิวิทยาในอวัยวะภายในและภายนอกของคนไข้ชนิดนี้มีหลายแบบ (Pleomorphic) อาจใช้หลักชนิดด้วยตาเปล่า คล้ายโรคอักเสบอย่างหนึ่ง โดยเฉพาะอย่างยิ่ง โรคเรื้อรังที่มีลักษณะของ Fibrosis, เป็นก้อนหิ้งๆ เนื้อแน่นและถึกๆ

วัฒนธรรมคนก่อนนတยทุกราย แต่ปัจจุบัน  
ชีวิต  
นั้นเป็นของจากการค้นพบภารกษาไว้ใน  
โดยเฉลี่ยวแล้ว อัตราตายลดลงมาก อัตรา  
ป่วยภัยคงมีอยู่แต่ต่างกันมากตามลักษณะ  
ประเทศไทย สภาพการศึกษาและเศรษฐกิจ  
โดยเฉลี่ยวอย่างยิ่งในคนจน ๆ ของประเทศไทย  
จน ๆ ทำการศึกษา สภาพการสังคม การเป็น  
อยู่ต่ำต้องดึงภาวะการครองชีพของประชาชน  
ยังแรงแคน

โรคในระบบทางเดินอาหารนั้นหายาก  
ในประเทศไทยจีโนทิปดีแล้ว<sup>(7)</sup> แต่ก็ยังคงพบ  
อยู่เรื่อยๆ ในประเทศไทยอยพัฒนา จาก  
สถิติต่างๆ ปรากฏว่ามีความสมมติที่เชื่อ  
ได้ว่า วัณโรคปอดและ G.I. นั้น เกี่ยวข้อง  
กันมาก ยิ่งคนเป็นวัณโรคปอดชนิดรุนแรง  
มากเท่าไร ก็จะพบว่ามีไวรัสภูมิคุ้มกันมาก

\* ร่วมบรรยายใน Symposium on Tuberculosis and Granuloma ที่เมืองนล่า, ประเทศพม่าปีนี้ เมื่อ ๕ กันยายน พ.ศ. ๒๕๑๕

\* \* แผนกรังส์วิทยา คณะแพทยศาสตร์, จامعةกรรมมหาวิทยาลัย

วัณโรคในระบบทางเดินอาหารมากขึ้นด้วย  
 ตามส่วน (8) วัณโรคอาจพบเป็นทั้งระยะ  
 อาหาร ที่ duodenum, jejunum, ileum,  
 cecum, mesentery, peritoneum และ  
 Rectum ก็ได้ กล่าวคือเราจะพบวัณโรค  
 ในทางเดินอาหารได้ทุกตำแหน่ง (3, 9, 11)

คนไข้

ในระหว่างปี พ.ศ.๑๘๗๐ และ พ.ศ.๑๘๗๓  
ประมาณ ๔ ปี มีคนไปที่เชือดโดยทางคลื่นคลา  
ว่าเป็นวัณโรคของระบบ G.I. ซึ่งรวมถึง

Mesentery และ Peritoneum อุบัติ รายที่ ๔ ที่มารับการรักษาอยู่ใน ร.พ. จุฬาลงกรณ์

ໃນຈຳນວນນີ້ເພີ້ງ ๑๐ ຮາຍເຫັນນັກສົງ  
ມາໃຫ້ຕຽບໂດຍເອົກຫຼວງໃນຮະຍະກ່ອນເບົາ  
ໂຮງພຢາບາລບ້າງ ໃນຮະຍະກ່ອນຜ່າຕັດບ້າງ  
ກ່ອນສ່ອງຕຽບຫຼຸ່ອງທົ່ວໄປ ໂດຍ Peritoneoscope  
ບ້າງ ແລະ ກ່ອນຕຽບຫຼວງພບບ້າງ ເຮົາຈະນຳມາໃຫ້ດູ  
ລັກຫຼວງທີ່ຕຽບພບຈາກພລມເອົກຫຼວງ ທິດ  
๑๐ ຄນ ໄປຕາມລຳດັບ

## อายุและเพศ

ເປັນຫາຍີ ລ ໄຫຼິງ ແລ້ວ ອາຍຸດິຈິນ ສອງ  
ເກົໄຂ, ຕັດ, ເຊື່, ເກົໄຂ, ຕັດ ແລະ ຕັດ ປົຕາມ  
ລຳດັບສຳຫຽວບັນຫຼຸ້າຍີ ຕເກ, ເຊື່, ເຊື່ ແລະ  
ຕັດ ປົຕາມລຳດັບສຳຫຽວບັນຫຼຸ້າຍີ

๓ ราย พิสูจน์โดยการผ่าตัดเข้าไปดู  
คือผู้ป่วยอย่าง ๒๔, ๒๕ และ ๓๙ ตามลำดับ

ଭାରାଯି ପ୍ରଦେଶରୁ କିମାରୀ ତାଙ୍କ ପରି  
୩୫ ପାଇଁ

## ลักษณะที่ตรวจพบจากพลเมืองเรีย

Case 1. A female patient of 32 years old with normal chest film.

Peritoneoscopic biopsy revealed granulomatous peritonitis.



Fig. 1.1 AP film of abdomen shows:

- a. Haziness of abdomen, indicating ascites.
  - b. Segmental dilatation of mid-transverse colon, hypotonic.
  - c. Retained gas in small bowels, suggestive of poor absorption

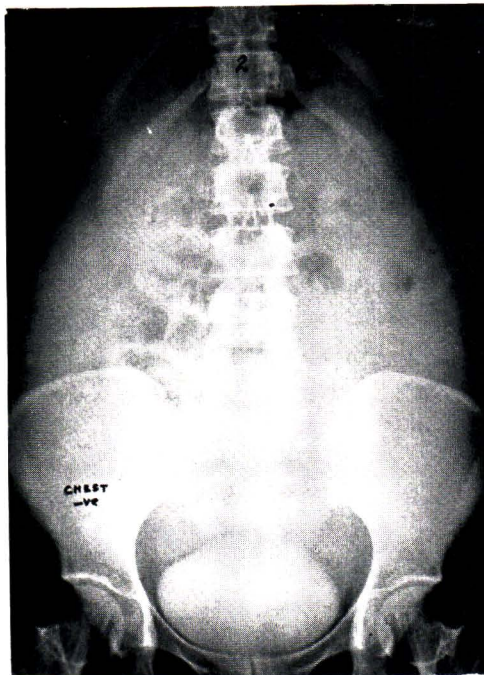


Fig. 1.2 The film shows :

- a. Increased ascites.
- b. Crowded gas-filled ileal loops, in mid-abdomen by ascitic fluid.

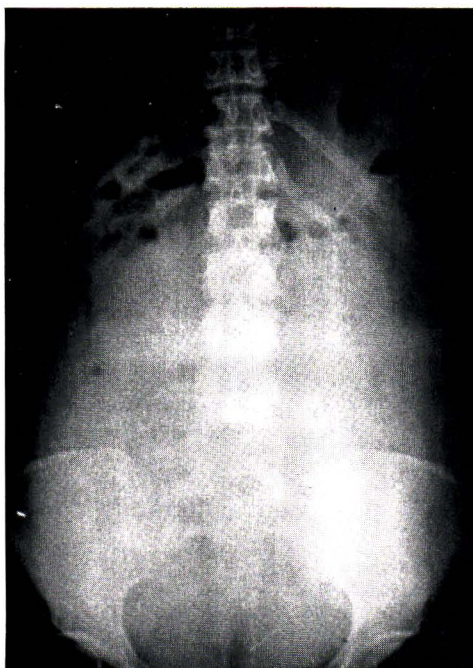
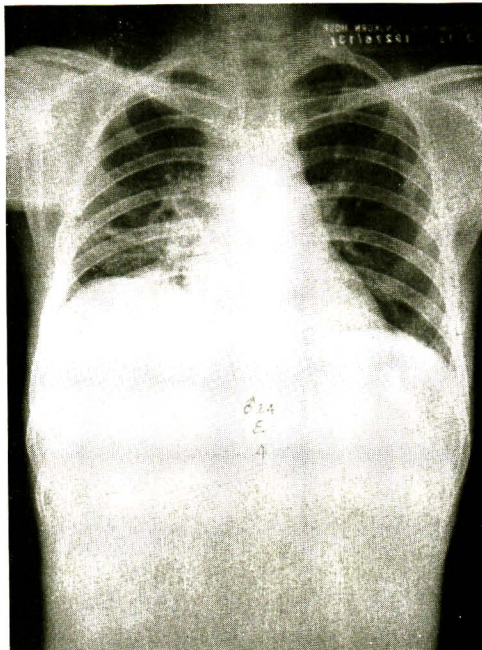


Fig. 1.3 Upright film of the abdomen :

Note the air-fluid levels in small bowel loops, scattered in upper abdomen without seriously increased calibre.

It is the matter of poor absorption.



CASE 2: A male patient of 24, on exploratory laparotomy there were multiple small nodules scattered all over the peritoneal surfaces.

Fig. 2.1 PA film of the chest reveals :

Cavitory lesion, nodular infiltration and pleural thickening at right lower lungfields. Elevation of right hemidiaphragm.



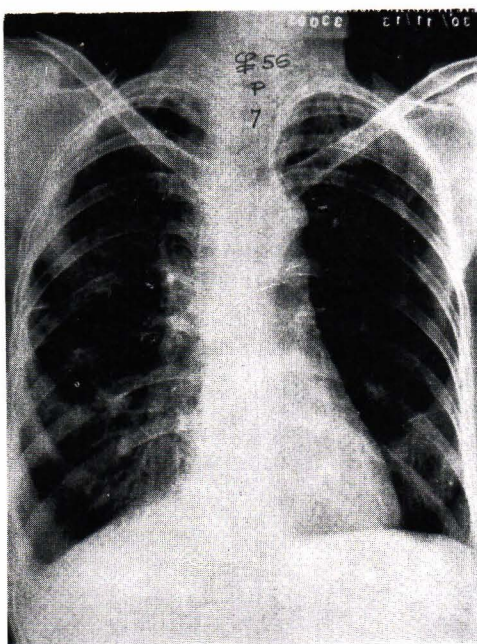
Fig. 2.2 AP film of abdomen shows :

Retained gas in ileal loops of different calibre and scattered from left upper to right lower abdomen, along the mesenteric axis.



Fig. 2.3 Upright film of abdomen shows :

Air-fluid levels in the small bowel loops, scattered with formation of 'pseudomass' or 'matted intestinal loops.'



CASE 3: A female patient of 56.

Fig. 3.1 PA film of the chest shows :

bilateral nodular and calcified lesions with pleural adhesion and pleural thickening on both sides, more at right base.

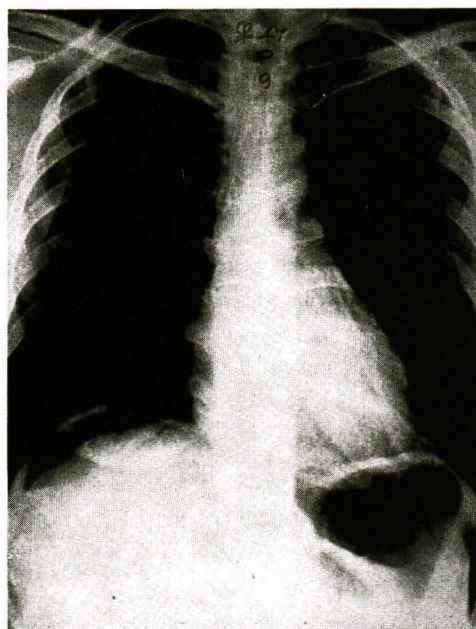


Fig. 3.2 AP film of abdomen shows :

Uneven dilated gas-filled right colon.  
Crowded gas-filled ileal loops on left side  
of abdomen.

These indicate hypotonic colon and ileal  
adhesions.

This case proved by peritoneoscopy with biopsy to  
be granulomatous peritonitis, necrotizing.



CASE 4: A female patient of 47, proved to be  
granulomatous peritonitis by peritoneoscopy  
and biopsy.

Fig. 4.1 PA film of the chest  
shows normal chest but retained gas  
underneath right dome of diaphragm  
due to peritoneoscopy.

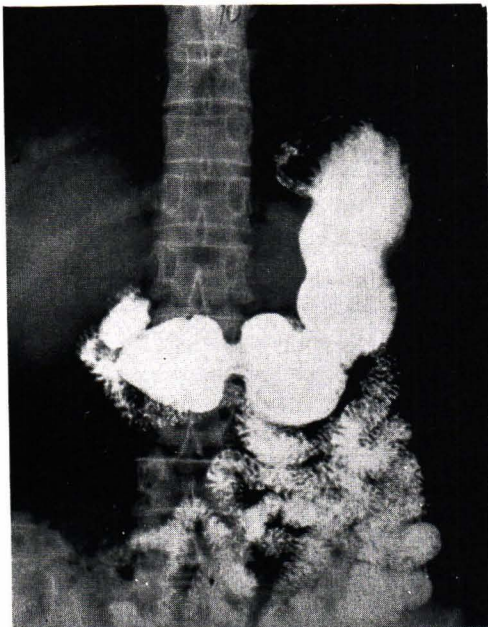
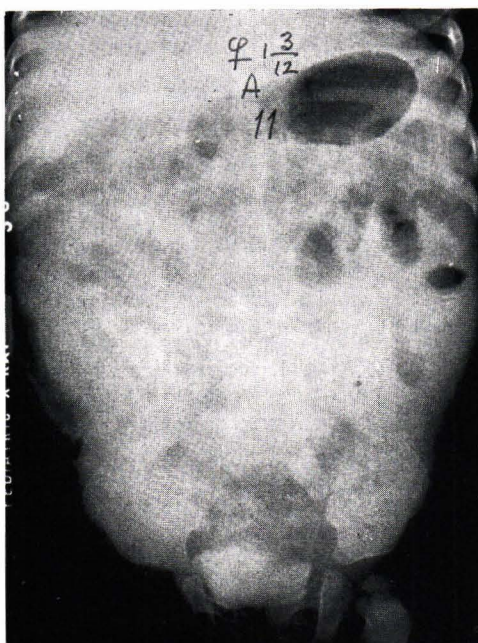


Fig. 4.2 A film of Upper G.I. series shows rather coarse mucosal folds of jejunum.

Dilated gas-filled ileal loops with segmentation on right lower abdomen, indicating poor absorption and probable adhesion.



CASE 5: The female patient of 1.3/12 years old, proved at autopsy to be granulomatous caecitis and peritonitis.

Fig. 5.1 Plain film of abdomen reveals:  
Ascites, gas-filled small and large bowel loops of different sizes.

The gas-filled ileal loops at right lower abdomen arranged in rather rigid and straight pattern, due to adhesion or matted intestinal loops.

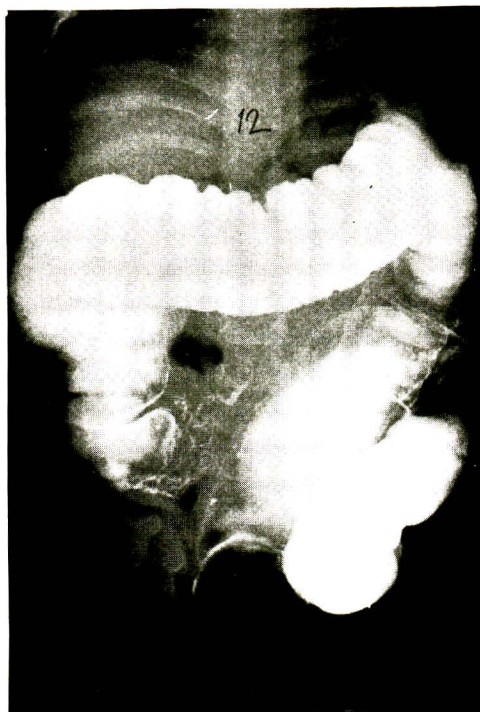


Fig. 5.2 Barium enema shows dilated hpotonic colon with irritable conical caecum.

Gas-filled distal ileal loops are noted,  
Abnormal mucosal pattern of the barium-filled ileum is also evident.

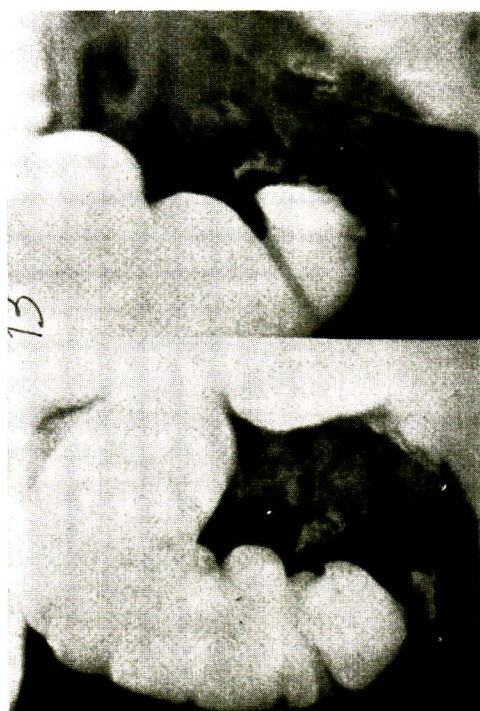
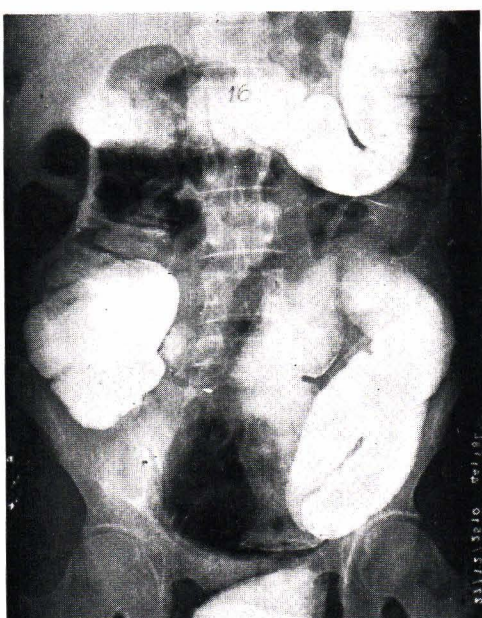


Fig. 5.3 Spot film of the caecum, ileum and right colon reveals conical caecum, irritable terminal ileum and abnormal mucosal pattern of distal ileal loops.

Gas-filled proximal ileal loops are constantly present, indicating poor absorption., poor tone and poor emptying.



Fig. 5.4 Barium enema series, postevacuation film show irritability of the right colon with mucosal serration, the left colon is dilated. The gas-filled proximal ileal loops are located lateral to the caecum, suggestive fo poor absorption, adhesion and intestinal displacement. Segmentation of the gas-filled ileum is also noted.



CASE 6 : A male patient of 38, proved at autopsy of be granulomatous peritonitis, lymphadenitis and ulcera. ration at the terminal ileum.

CHEST FILM shows miliary lesions.

Fig. 6.1 Barium enema shows gigantic colon and colon-sized ileal loops scattered through out the abdomen.

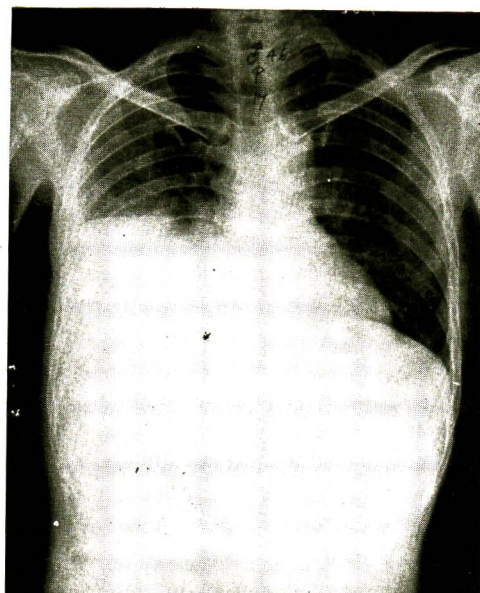
Ulceration is not well visualized,

Marked dilatation, tortusity and elongation of the colon are noted.



Fig. 6.2 Post-evacuation film after barium enema reveals fairly good emptying of the colon with rather coarse mucosal folds.

Markedly dilated ileum, misplaced lateral to the caecum and ascending colon is noted, indicating adhesion, pathological interposition of the small bowels. Segmentation of the gas-filled small bowel loops is evident, compatible with poor absorption.



CASE 7: A male patient of 46, proved to be miliary granulomatous peritonitis by peritoneoscopy and biopsy.

Fig. 7.1 P.A. film of the chest shows moderate pleural effusion or infrapulmonary effusion on right side, obliterating right dome. Slight mediastinal shift to the left.

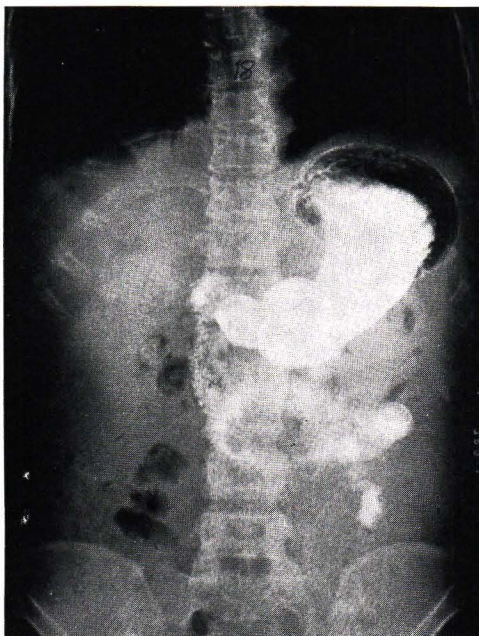


Fig. 7.2 A film of the G.I. series shows coarse mucosal folds of jejunum.

Note the gas-filled ileal loops of different size, indicating adhesion and poor absorption.

Retained rather solid colonic contents are noted.

Note exudative infiltration and air bronchograms at right lung base on this view, suggestive of acute process in the lung, as well as miliary spreads.

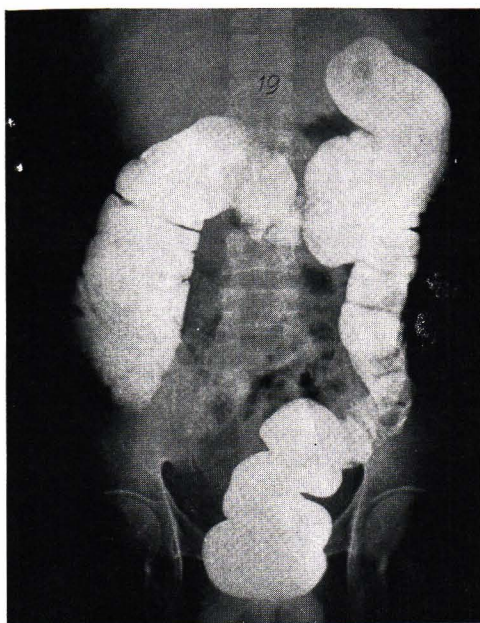


Fig. 7.3 Barium enema shows dilated or hypotonic colon, irritability of ileo-caecal region and gas-filled ileum and jejunum.

Matted loops of gas-filled ileum, also noted at left lower abdomen.



CASE 8: A male patient of 24, a case of small intestinal perforation with caseating granuloma and peritonitis

CHEST film shows right perihilar lesions.

Fig. 8.1 Film of the abdomen shows gas-filled ileal loops with segmentation, located in the left and middle lower abdomen.



Fig. 8.2 I.V.P. shows no significant change in the K.U.B.

Gas-filled ileal loops are seen in right lower abdomen, apparently of no serious pattern in contrast to the perforation



CASE 9: A male patient of 38 years, proved to be granulomatous peritonitis by peritoneoscopy and biopsy.

CHEST PA & APICOGRAM reveal infiltration in left apex and pleural thickening at right base.

Fig. 9.1 Plain film of abdomen shows gas-filled ileal loops of different size in both upper and lower abdomen. Retained unabsorbable tablets are noted in distal ileal loops.

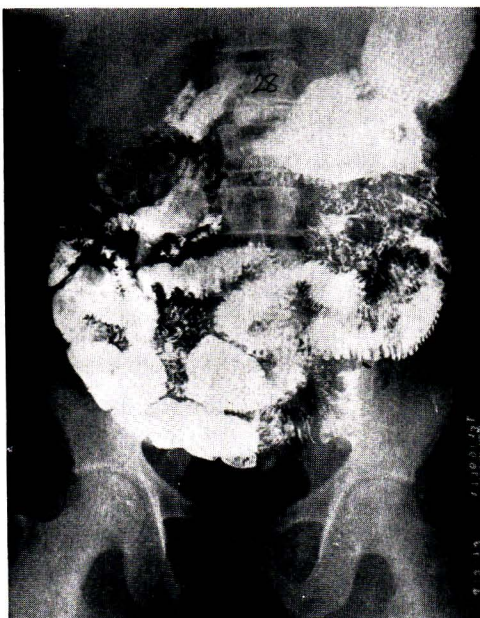


Fig. 9.2 G.I. SERIES :

The film shows marked coarsening of the mucosal folds of jejunum and ileum. Segmentation of the small bowel loops with separation and abnormal placement are noted.



Fig. 9.3

G.I. SERIES, follow up film reveals matted ileal loops at right and mid-abdomen, forming a pseudomass.

Flocculation of barium or segmentation of small bowel loops are noted.



Fig. 10.2 BARIUM ENEMA. :

Film shows rigidity of conical caecum, annular defect at ileo-caecal region and abnormal mucosal pattern of terminal ileum.

Dilated colon with elongation and tortuosity, still evident.



CASE 10: A male patient of 38 years, proved by exploration and microscopic findings to be granulomatous enterocolitis.

CHEST FILM shows bilateral advanced nodular and fibroexudative lesions with cavities on both sides.

#### Fig. 10.1 G.I. SERIES :

The film shows malabsorption pattern of the small bowels with flocculation, segmentation, coarse folds and loop separation.

No serious obstruction of the gut is noted.

### สรุปผลการตรวจพอดีกับเรื่อง

คนไข้ทุกรายท่านมารายงานได้พสูจน์ได้กล่องจุลทรรศน์ หรือพยาธิแพทย์อ่านว่า เป็น granuloma ซึ่งเชื่อว่าน่าจะเป็นวัณโรคมากกว่าอย่างอื่น

๔ รายมีเจ้าผิดปกติในปอด (๔๐ เปอร์เซ็นต์)

### PLAIN FILM OF ABDOMEN AND G.I. SERIES. :

ในท่านอนหงายหรือยืน มลักชณะของ เงาของลำไส้ทั้งสี่ส่วนจะมีเส้นที่ชัดเจน ซึ่งท้องและทั้งหมดจะมีเส้นที่ชัดเจน (Fibrosis & Adhesion) มลักชณะทั้งสี่ส่วนจะมีเส้นที่ชัดเจน แต่หากทำการดูดซึมอาหารหรือของเหลวจาก ลำไส้ การตรวจพบแพลง การเห็นก้อนแท้ หรอก้อนเทียม (Pseudomass) หรือการเห็น ลำไส้ติดกันโดยเนื่องจากอาการอักเสบ ความ ผิดปกติหรือลักษณะที่เห็นนี้ อาจพบอยู่ภายใน หรือในผนังหรือที่เยื่อบุของลำไส้ใน กระเพาะปัสสาวะ

### วิจารณ์

ในแบบของการวินิจฉัย ลักษณะที่เห็น หรือตรวจพบเหล่านี้ แพทย์เราทราบกันมา นานแล้ว และบนทึกไว้ในตำรามากมาย แต่ โบราณมาที่เดียว ลักษณะที่ตรวจพบเหล่านั้น ก็ยังเหมือนเดิม และรูปร่างที่เห็นก็คล้าย แบบ (Pleomorphic) ดูหมายๆ ก็คล้ายคลึง กับโรคตันๆ อักเสบอย่าง

แม้ว่าเชื้อวัณโรคบางชนิดจะต่อต้านยา สมัยใหม่<sup>(1)</sup> มากนัก การเปลี่ยนแปลงทาง พยาธิวิทยาในวัยต่างๆ นั้น ก็ยังดำเนินไปเหมือนเดิม ก่อให้เกิดในแบบของการวินิจฉัย

# គ្រឿងការណ៍នៃការបង្កើតរឹងការ

ອຸໝ່ເໜີມອັນດີມ

มีโรคอยู่มากมายหลายชนิด ที่ให้เจ้า  
บันพลุ่มออกอาการเรียบ คล้ายหรือเหมือนวัณโรค  
มาก เช่น Lymphoma, Crohn's ปอด มะเร็ง  
Sarcoid การอักเสบของลำไส้เล็ก ลำไส้ใหญ่  
หรือแม้แต่แพลเปปิติก ก็ยังให้เจ้าคล้าย  
วัณโรคน ก็ได ก้อนทุ่มจาก granuloma  
ที่เกิดจากเชื้อร่า สิ่งแปลกปลอมในเหล่าน ก็ให้  
เจ้าเหมือนวัณโรคต่อเหมือนกัน

การศักขราลักษณะของเส้นเลือดที่ไปเลี้ยง	
ส่วนของหล้าสีที่เป็นวัณโรค	กไม่พบว่ามี
ลักษณะพิเศษเฉพาะอย่างไรโดย	ยังกว้าง
มันอาจทำให้เส้นเลือดตันก็ได้	ทำให้เมื่อ
Hypervascularity หรือ Staining	เหมือน
มีสีแดง มี (6)	

๘๖

จากการศึกษาคนไข้ที่เป็นวัณโรคของระบบทางเดินอาหาร ในระหว่างปี ๒๕๑๐—  
๒๕๑๗ รวม ๔ ปี พบร่วมคนไข้ที่เข้มข้น  
น่าจะเป็นวัณโรคอยู่ ๔๔ คน จากจำนวน  
มีเพียง ๑๐ รายเท่านั้น ที่ได้ตรวจพบเนื่อง  
ทางกล้องจุลทรรศน์

## ๕ รายได้ชนเนอจิก Peritoneoscopic

Study

៣ វឌ្ឍយុទ្ធផល

ໜ້າ ດියກරු ຕරව්ජන්

การตรวจพบร่างເອກະເຮົດ ພບວາ ຊົວ  
ເປົ້ອງເຫັນຕີ ມີເຈົ້າຜິດປົກຕີ ໃນປອດ ສ່ວນພລົມ  
ບໍລິເວັນທົ່ວໂທຍ ພລັນ ພິລົມ ແລະ G.I.  
Series ພບລັກໜະແກ້ທົບຮົດ Ascites,  
Adhesion, Gut Obstruction, Malabsorption,  
Mass ແລະ Ulceration ກາຣແຍກໂກຣອຸນ  
ຈາກ Crohn's disease, ບົດ Lymphoma,  
Carcinoma, Sarcoma, Pancreatitis ແລະ  
Granuloma ອໍາຍ່າງອືນນ ໃນແຈ້ງຂອງເອກະເຮົດ  
ແລ້ວ ເບີນກາຣຍາກມາກ ຮ່ວອງໃຈນີ້ໄປໄວ້ເຊີ

ເອກສາຣອ້າງອິນ

1. Abello, et al. Atypical Mycobacterial Infection in Children, Scand Infect. Dis. 3 : 163-167. (1971)
  2. Bouchier Crohn's Disease, Brit. J. Clin. Pract. 26 : 13-18. (1971)
  3. Brenner, et al. Tuberculous Colitis Simulating Non specific Granulomatous Disease of the Colon Amer. J. Dig. Dis. 15 : 85-91. (1970)
  4. Fung, et al. Malabsorption and Subtotal Villous Atrophy Secondary to Pulmonary and Intestinal Tuberculosis. CUT, 11 : 212-216. (1970)

5. James The significance of Granulomatous Reaction of the Alimentary System, Brit. J. Clin. Pract. 24 : 145-147. (1970).
  6. Kinkhabwala, et al. Arteriogr. aphic Manifestation of Tuberculosis of the Splenic Flexure and the Stomach, Brit. J. Radiol. 44 : 384-387. (1971).
  7. Marshak, et al. Tuberculosis Radiology of the Small Intestine, W.B. Saunders Co., p. 491. (1970).
  8. Prout Multiple Tuberculous Perforation of Ileum, GUT, 9: 381-382. (1968).
  9. Sharma Tuberculous Ulcer of Stomach, J. India Med Ass. 46: 186-187. (1967).
  10. Sarin, et al. Diagnosis of Abdominal Tuberculosis, . . . India J. Med. Se. 18: 319-327. (1964).
  11. Singh, et al. Tuberculous Peritonitis, . . . New Eng. J. Med. 281 : 1091-1094. (1969 ).
-